

รายงานผลงานเรื่องเต็มการทดลองที่สิ้นสุด

5. บทคัดย่อ

พอสฟิวรอยด์เป็นเชื้อสาเหตุโรคพืชที่มีความสำคัญทางเศรษฐกิจในหลายประเทศ ดังนั้นจึงเป็นเชื้อกักกันที่สำคัญในการส่องออกเมล็ดพันธุ์ระหว่างประเทศ วิธีการในการตรวจวินิจฉัยจำเป็นต้องมีประสิทธิภาพและมีความถูกต้องแม่นยำสูง ดังนั้นงานวิจัยนี้จึงทำการศึกษาการใช้เทคนิคไฟโรซีเควนซิ่งเพื่อนำมาใช้ตรวจสอบเชื้อไวรอยด์โดยอาศัยหลักการของ synthesis sequencing และการตรวจจับ PPI ที่หลุดออกมายังขณะที่เกิดกระบวนการ polymerization เทคนิกนี้มีการพัฒนาประสิทธิภาพโดยเทียบกับวิธีทดสอบมาตรฐานด้วยเทคนิค real time RT-PCR (TaqMan) โดยการใช้ข้อมูลข่าวสารสนใจและข้อมูลจีโนมจากฐานข้อมูลธนาคารพันธุกรรมเพื่อนำมาออกแบบไพรเมอร์และหาสภาวะที่เหมาะสมต่อการทำปฏิกิริยาไฟโรซีเควนซิ่ง พบร่ว่าไพรเมอร์ PPV1 มีความจำเพาะต่อเชื้อไวรอยด์ 8 ชนิด ได้แก่ Potato spindle tuber viroid, Tomato chlorotic dwarf viroid, Mexican papita viroid, Tomato planta macho viroid, Chrysanthemum stunt viroid, Citrus exocortis viroid, Tomato apical stunt viroid และ Iresine viroid ซึ่งให้ขนาดชิ้นดีเอ็นเอ 197 คู่เบส ขณะที่ไพรเมอร์ PPV2 มีความจำเพาะต่อเชื้อไวรอยด์ Columnea latent viroid มีขนาดชิ้นดีเอ็นเอ 194 คู่เบส เมื่อนำไปวิเคราะห์ไฟโรซีเควนซิ่งให้ลำดับนิวคลีโอไทด์แตกต่างกันมีความจำเพาะแต่ละชนิดของไวรอยด์ ดังนั้นจึงเป็น

วิธีการตรวจสอบที่รวดเร็วและมีความถูกต้องสูง เหมาะสมที่จะนำมาใช้ในการตรวจไวนโรยด์ในเมล็ดพันธุ์เพื่อการรับรองการปลดศัตรุพืชสำหรับการนำเข้า-ส่งออก

คำสำคัญ: พอสพีไวนโรยด์ ไฟโรซีเควนซิ่ง เมล็ดพันธุ์

Abstract

Pospiviroid can cause disease of considerable economic importance many countries. Therefore, it is an internationally important quarantine pest. Developing an efficient and accurate diagnostic method, it is necessary. In the study of the use of pyrosequencing technique for detection of viroid, it can be used quickly and high reliability. Pyrosequencing is a technique for DNA sequencing based on the bioluminescence analysis of pyrophosphate. This method improves test efficiencies compared to the standard test methods of real time RT-PCR (TaqMan). Bioinformatics and genome data bases from GenBank were used to design primer and optimized condition for pyrosequencing. It was found that the PPV1 is a specific primers for 8 Pospiviroid detection such as *Potato spindle tuber viroid*, *Tomato chlorotic dwarf viroid*, *Mexican papita viroid*, *Tomato planta macho viroid*, *Chrysanthemum stunt viroid*, *Citrus exocortis viroid*, *Tomato apical stunt viroid* and *Iresine viroid* whereas primer PPV2 is a specific primer for detection of *Columnea latent viroid* to yield a cDNA fragment about 197 and 194 base pairs, respectively. When analyzed, pyrosequencing gave different nucleotide sequences with specificity of each type of Viroid. Therefore, it is a fast and highly accurate detection method. Suitable for use in the detection of viroid in seeds for certification of pest-free for import-export seed.

Key words: Pospiviroid, pyrosequencing, seed

6. คำนำ

ประเทศไทยมีการส่งออกและนำเข้าเมล็ดพันธุ์เป็นจำนวนมากโดยเฉพาะเมล็ดผัก ซึ่งการส่งออกไปยังประเทศในแถบยุโรปมีการกำหนดศัตรุพืชกักกันหลายชนิด โดยเฉพาะเชื้อไวนโรยด์ ซึ่งเป็นเชื้อสาเหตุโรคพืชที่มีขนาดเล็ก ไม่เกลุ่มประกอบด้วยอาร์เอ็นเอองแหวนสายเดี่ยวที่มีความยาว 239-401 นิวคลีโอไทด์ จีโนมที่มีขนาดเล็กของไวนโรยด์จะไม่มีโปรตีนห่อหุ้มดังนั้นจึงไม่สามารถตรวจสอบด้วยเทคนิคทางด้านชีวเคมีได้ (Verhoeven et al., 2004) และไวนโรยด์เพิ่มจำนวนโดยเนื่องจากมีจำนวนชั้นของ Pospiviroid เป็นหนึ่งที่มีจำนวนชนิดของเชื้อไวนโรยด์มากที่สุด ได้แก่ *Potato spindle tuber viroid* (PSTVd), *Tomato chlorotic dwarf viroid* (Avsunviroidae) และ *Pospiviroidae* (Flores et al., 2000) จีนสขของ Pospiviroid เป็นหนึ่งที่มีจำนวนชนิดของ

(TCDVd), Tomato apical stunt viroid (TASVd), Citrus exocortis viroid (CEVd), Chrysanthemum stunt viroid (CSVd), Columnea latent viroid (CLVd), Mexican papita viroid (MPVd), Tomato plancha macho viroid (TPMVd), Pepper chat fruit viroid (PCFVd), Iresine viroid (IrVd) เนื่องจากเชื้อกลุ่มนี้เป็นเชื้อสาเหตุโรคที่สำคัญของพืชหลายชนิด เช่น มะเขือเทศ ทำให้ผลผลิตลดลงถึง 49 เปอร์เซ็นต์ เชื้อชนิดนี้มีพื้นที่อาศัยที่กว้าง เช่น มะเขือเทศ, มันฝรั่ง, แตงกวา, พริก, มะเขือชนิดต่าง ๆ และไม่มีประดับ อีกทั้งยังสามารถถ่ายทอดโรคผ่านทางเมล็ดพันธุ์ได้ นอกจากนี้ประเทศไทยมีการนำเข้าเมล็ดพันธุ์มะเขือเทศเพื่อใช้ทำพันธุ์ในประเทศไทย และผลิตเมล็ดพันธุ์ลูกผสมเพื่อการส่งออกในปริมาณที่มาก จึงทำให้เชื้อไวรอยด์ดังกล่าวมีโอกาสติดเข้ามา กับเมล็ดพันธุ์มะเขือเทศนำเข้าและแพร่ระบาดทำความเสียหายในประเทศไทยได้ ปัจจุบันยังพบว่ามีไวรอยด์อีกหลายชนิดที่ทำความเสียหายให้แก่พืช ซึ่งปัจจุบันสำคัญในการตรวจสอบเชื้อไวรอยด์ คือเชื้อไม่สามารถแยกบริสุทธิ์ และเลี้ยงบนอาหารสังเคราะห์ได้ จึงมีการใช้เทคนิคทางการตรวจ เช่น Biological indexing หรือการใช้พืชทดสอบ ซึ่งเป็นวิธีการเริ่มแรกที่ใช้ในงานตรวจวินิจฉัยโรคพืชที่มีสาเหตุจากเชื้อไวรอยด์ เป็นวิธีการที่ง่ายแต่ไม่สามารถใช้ตรวจจำแนกได้ครอบคลุมทั้งหมดข้อเสียที่สำคัญของวิธีการนี้คือ ต้องใช้พืชทดสอบหลายๆ ชนิดในการตรวจสอบชนิดของเชื้อไวรอยด์ ซึ่งไม่เหมาะสมสำหรับการตรวจตัวอย่างปริมาณมาก เนื่องจากต้องใช้พืชที่โรงเรือนมากและสิ้นเปลืองแรงงานสูง นอกจากนี้ยังกินเวลาในการรอให้พืชทดสอบแสดงอาการตั้งแต่ 2 อาทิตย์ จนถึงหลายเดือน แต่อย่างไรก็ตามวิธีการนี้ไม่สามารถนำมาใช้กับไวรอยด์บางชนิดได้ เช่น CCCVd และ CTIVd เนื่องจากไม่มีพืชทดสอบที่เหมาะสม และวิธีการปลูกเชื้อมีความยุ่งยาก ต้องใช้เครื่องมือที่มีแรงดันสูงในการปลูก เชื้อ รวมถึงระยะเวลาที่เชื้อแสดงอาการอาจกินเวลานานกว่า 4 ปี เทคนิคไฟโรซีเควนซิ่งเป็นการพัฒนาโดยอาศัยหลักการของ synthesis sequencing และการตรวจจับ PPI ที่หลุดออกจากในขณะที่เกิดกระบวนการ polymerization การทำงานนั้นอาศัยการทำงานของเอนไซม์ 4 ชนิดด้วยกันคือ klenow fragment ทำหน้าที่ต่อสายดีเอ็นเอ เอนไซม์ ATP sulfurylase ทำหน้าที่เปลี่ยน PPI ที่เกิดขึ้นให้เป็น ATP ซึ่งจะเป็นพลังงานให้กับเอนไซม์ luciferase ให้เป็น oxyluciferin ซึ่งสามารถให้แสงออกมайд้วยแสงที่เกิดขึ้นจะถูกตรวจจับด้วยเซ็นเซอร์ของกล้อง CCD นอกจากนี้ยังมีเอนไซม์ apyrase ทำหน้าที่ในการกำจัด dNTPs และ ATP ที่หลงเหลืออยู่ในระบบ (Gruber et al., 2002; Nordstrom et al., 2000) ซึ่งใช้ระยะเวลาการตรวจสอบเพียง 2 วัน ดังนั้นการพัฒนาวิธีการตรวจสอบเชื้อ Pospiviroid ให้ครอบคลุมทุกชนิดของไวรอยด์กลุ่มนี้ โดยใช้เทคนิคทางด้านชีวโมเลกุลขั้นสูงสามารถตรวจ Pospiviroid พร้อมกันได้หลายชนิด จึงความสำคัญเป็นอย่างยิ่งเพื่อนำมาใช้ตรวจสอบติดตามเมล็ดพันธุ์ที่นำเข้าหรือส่งออกไปต่างประเทศและเพิ่มความสามารถในการเข้าขั้น เพราะจะทำให้ประเทศไทยคุ้มค่ามีความเชื่อมั่นในระบบการตรวจสอบ นอกจากนี้การเปิดเสรีทางการค้าทำให้แต่ละประเทศกำหนดเกณฑ์มาตรฐานสินค้าเกษตรขึ้นมาเพื่อใช้เป็นข้อกีดกันทางการค้า ดังนั้นผลงานวิจัยนี้สามารถนำมาช่วยลดปัญหาเหล่านี้ได้ และยังเป็นวิธีการป้องกันการแพร่ระบาดของเชื้อโรคศัตรูพืชกักกันที่มีประสิทธิภาพด้วยเช่นกัน

7. วิธีดำเนินการ

7.1 อุปกรณ์

1. Pospiviroid positive sequence

2. Two set of PyroMark Assay (PPV1 and PPV2)
3. RNA extraction kit (MACHEREY-NAGEL)
4. PyroMark OneStep RT-PCR Kit (200) cat no. 978803
5. PyroMark Q48 Advanced Reagents (4 x 48) cat no. 974002
6. PyroMark Q48 Magnetic Beads (300) cat no. 974203
7. PyroMark Q48 Absorber Strips (100)
8. PyroMark Q48 Discs (50)
9. Nano drop
10. PyroMark Q48 Autopre

7.2 วิธีการทดลอง

7.2.1 การเตรียมสังเคราะห์เชื้อไวรอยด์เพื่อใช้เป็นตัวควบคุมเชิงบวก (positive control) สังเคราะห์ชิ้นส่วนอาร์เอ็นเอของเชื้อ Pospiviroid 9 ชนิด ได้แก่ Potato spindle tuber viroid, Tomato chlorotic dwarf viroid, Mexican papita viroid, Tomato planta macho viroid, Chrysanthemum stunt viroid, Citrus exocortis viroid, Tomato apical stunt viroid, Iresine viroid และ Columnea latent viroid เพื่อใช้เป็นตัวควบคุมเชิงบวก (positive control)

7.2.2 การออกแบบโปรแกรมที่จำเพาะ

ออกแบบแบบโปรแกรมเพื่อใช้ตรวจสอบเชื้อ Pospiviroid ทำการค้นข้อมูลลำดับนิวคลีโอไทด์ของเชื้อ pospiviroid ทั้ง 9 ชนิด เพื่อนำไปออกแบบแบบโปรแกรมโดยใช้โปรแกรมคอมพิวเตอร์เพื่อหาลำดับเบสของโปรแกรม

7.2.3 การตรวจเชื้อไวรอยด์ด้วยวิธี pyrosequencing

เจือจางโปรแกรมให้ได้ความเข้มข้น 10 ไมโครโมลาร์ นำอาร์เอ็นเอที่ได้มาเจือจางให้ได้ปริมาณ 2 นาโนกรัม/ไมโครลิตร เตรียมน้ำยา PyroMark OneStep RT-PCR reagent, CoralLoad Concentrate, primer solutions และ 25 mM MgCl₂ โดยแซนในน้ำแข็ง กำหนดปริมาณน้ำยาในการทำปฏิกิริยาดังนี้

องค์ประกอบ	ปริมาณ/reaction (ไมโครลิตร)	ความเข้มข้นสุดท้าย
QIAGEN OneStep RT-PCR Buffer, 5x*	5.0	1X
dNTP Mix	1.0	1X
CoralLoad Concentrate, 10x	2.5	
QIAGEN OneStep RT-PCR Enzyme Mix	1.0	
10 μM Forward primer	0.625*/1.25**	0.25 μM/0.5 μM
10 μM Reverse primer (biotin label)	0.625*/1.25**	0.25 μM/0.5 μM
RNase free water	4.25/3.0	
RNA template (2 ng/ul)	10.0	20 ng/rxn
Final volume	25.0	

*PPV2 primer/**PPV1 primer

ใช้ปีเปตดูด Master mix ผสมให้เข้ากันและดูดใส่หลอดพีซีอาร์เติม template DNA (≤ 500 ng/reaction) ในแต่ละหลอดพีซีอาร์ (20 ng extracted RNA 10ul (2ng/uL)) ตั้งโปรแกรมการทำงานของเครื่อง thermal cycler โดยกำหนดสภาพดังนี้

Reverse transcription	30 min 50°C	Hold
Initial PCR activation step	15 min 95°C	Hold
3-step cycling		
Denaturation	30s 94°C	45 cycles
Annealing	30s 62°C	
Extension	30s 72°C	
Final extension	10min 72°C	Hold

นำหลอดพีซีอาร์ในเครื่อง thermal cycler และเริ่มต้นทำปฏิกิริยา นำ PCR product ไปตรวจสอบผลด้วยอุปกรณ์ Pyrosequencing จากนั้นนำ PCR product ปริมาณ 10 μl ไปวิเคราะห์ด้วย Pyrosequencing Pospiviroid analysis sequence ผลิตผลซึ่งได้ผ่านการเพิ่มปริมาณด้วยวิธี RT-PCR มาแล้ว 20 ไมโครลิตรผสม กับ streptavidin SepharoseTM beads 200 ไมโครกรัม และ PyroMarkTM binding buffer 3 ไมโครลิตร เขย่าที่อุณหภูมิห้อง 10 นาที เพื่อให้ streptavidin จับกับสาย DNA ได้ทั่วถึง จากนั้นใส่คู่ sequencing primers เข้มข้น 100 มิลลิเมตร ที่ผสมกับ annealing buffer ปริมาณ 40 ไมโครลิตร เพื่อจับกับ DNA สายเดียว ก่อนนำ ไปหาลำดับเบสโดยใช้น้ำยา PyroMark Q48 Advanced Reagent (Qiagen, Hilden, Germany) หลังจากนั้น เติม enzyme substrate และ nucleotides (A, C, G, and T) ลงใน cartridge ปริมาณตามการคำนวณจากโปรแกรม เมื่อนำเข้าเครื่องตรวจวิเคราะห์ ประมาณ 1-2 ชั่วโมง อ่านลำดับเบสนิวคลีโอไทด์

7.2.4 การตรวจเชื้อไวรอยด์ในเมล็ดพันธุ์ผักด้วยวิธี pyrosequencing

การเตรียมตัวอย่าง

ตรวจสอบเชื้อไวรอยด์ที่ติดมากับเมล็ดพันธุ์โดยใช้เทคนิคไฟโรซีเควนซิงรวมกับเรียลไทม์พีซีอาร์ (วิธีการมาตรฐาน) โดยสูญตรวจน้ำเมล็ดพันธุ์ผักของบริษัทที่จะส่งออก ได้แก่ เมล็ดพันธุ์มะเขือเทศจำนวน 50 ตัวอย่างและพริก 50 ตัวอย่าง ซึ่งเมล็ดพืชแต่ละตัวอย่าง (3,000 หรือ 20,000 เมล็ด) โดยแบ่งเป็น 3 ตัวอย่างย่อย ตัวอย่างละ 1000 เมล็ด หรือ 50 ตัวอย่างย่อย ตัวอย่างละ 400 เมล็ด และนำแต่ละตัวอย่างย่อยไปบดด้วยใบในโตรเจนเหลวในโกร่งบดตัวอย่าง จนได้เป็นผงละเอียด

การสกัดอาร์เอ็นเอจากชุดสกัดสำเร็จรูปของบริษัท MACHEREY-NAGEL โดยมีขั้นตอนดังนี้

ถ่ายผงตัวอย่างที่บดละเอียดใส่หลอด 1.5 ml. เติมบัฟเฟอร์ PFL 500 ไมโครลิตร ลงในหลอดและเติมบัฟเฟอร์ PFR 10-50 ไมโครลิตร ผสมให้เข้ากันทันที บ่มที่อุณหภูมิ 56 องศาเซลเซียส เป็นเวลา 5 นาที นำไปปั่นเหวี่ยงด้วยความเร็ว $14,000 \times g$ เป็นเวลา 1 นาทีกรองตัวอย่างโดยสมคองลัมป์ NucleoSpin RNA

Plant Filter Column ในหลอดเก็บตัวอย่าง ดูดส่วนใส่จากข้างตัน ใส่ลงในคอลัม์ นำไปปั่นให้วายความเร็ว $14,000 \times g$ เป็นเวลา 1 นาที ปรับสภาพการจับของอาร์เอ็นเอโดยเติมบัฟเฟอร์ PFB 500 μl ลงในส่วนใส่ที่ได้จากขั้นตอนที่ 2 และผสมให้เข้ากันโดยใช้ปีเปต บ่มที่อุณหภูมิห้อง เป็นเวลา 5 นาที สมคอลัม์ NucleoSpin RNA Plant Column ในหลอดเก็บตัวอย่างดูดส่วนใส่ที่ได้จากขั้นตอนที่ 3 ปริมาตร 650 μl ไมโครลิตร์ ใส่ลงในคอลัม์นำไปปั่นให้วายความเร็ว $14,000 \times g$ เป็นเวลา 30 วินาที เทส่วนใส่ผ่านคอลัมน์ในหลอดเก็บตัวอย่างทึ้งและนำมาสามกับคอลัม์อีกรัง ดูดส่วนใส่ที่เหลือใส่ลงในคอลัม์และนำไปปั่นให้วายความเร็ว $14,000 \times g$ เป็นเวลา 30 วินาที เทส่วนใส่ผ่านคอลัม์และหลอดเก็บตัวอย่างทึ้ง นำหลอดเก็บตัวอย่างอันใหม่มาสามกับคอลัม์เดิม ล้างและทำให้แห้งแผ่น silica membrane ล้างครั้งที่ 1 โดยเติมบัฟเฟอร์ PFW1 500 ไมโครลิตร์ ลงในคอลัม์ นำไปปั่นให้วายความเร็ว $14,000 \times g$ เป็นเวลา 1 นาที เทส่วนใส่ผ่านคอลัม์และหลอดเก็บตัวอย่างทึ้ง นำหลอดเก็บตัวอย่างอันใหม่มาสามกับคอลัม์เดิม ล้างครั้งที่ 2 โดยเติมบัฟเฟอร์ PFW2 500 ไมโครลิตร์ ลงในคอลัม์ นำไปปั่นให้วายความเร็ว $14,000 \times g$ เป็นเวลา 1 นาที เทส่วนใส่ผ่านคอลัม์ในหลอดเก็บตัวอย่างทึ้งและนำมาสามกับคอลัม์อีกรัง ล้างครั้งที่ 3 โดยเติมบัฟเฟอร์ PFW2 500 μl ลงในคอลัม์ที่ได้ นำไปปั่นให้วายความเร็ว $14,000 \times g$ เป็นเวลา 1 นาที เทส่วนใส่ผ่านคอลัม์และหลอดเก็บตัวอย่างทึ้ง ชีอาร์เอ็นเอออกจากคอลัม์ สามคอลัม์ในหลอดเซนทริฟิวส์ขนาด 1.5 ml. เติมน้ำที่ปราศจาก RNase 50 ไมโครลิตร์ ลงในคอลัม์บ่มที่อุณหภูมิห้อง เป็นเวลา 1 นาที นำไปปั่นให้วายความเร็ว $14,000 \times g$ เป็นเวลา 1 นาที เก็บสารละลายอาร์เอ็นเอเพื่อใช้ทดสอบต่อไป

7.2.5 การตรวจสอบเชื้อไวรอยด์ด้วยเทคนิคไฟโรซีเควนซิ่ง

นำตัวอย่างอาร์เอ็นเอที่สกัดได้มามาเจือจางให้ได้ปริมาณ 2 นาโนกรัม/ไมโครลิตร์และนำไปทำปฏิกิริยาตามขั้นตอนในข้อ 7.2.3

- เวลาและสถานที่

ระยะเวลาที่ดำเนินการ ปีที่เริ่มต้น...2561...ปีที่สิ้นสุด....2562...

สถานที่ทำการทดลอง ศูนย์วิจัยและพัฒนามล็ดพันธุ์พืชพิษณุโลก

8. ผลการทดลองและวิจารณ์

1. การเตรียมเชื้อไวรอยด์เพื่อใช้เป็นตัวควบคุมเชิงบวก (positive control)

เนื่องจากเชื้อไวรอยด์ในกลุ่มพอสพิไวรอยด์หลายชนิดยังไม่มีรายงานในประเทศไทยดังนั้นในการตรวจสอบเชื้อดังกล่าวจำเป็นต้องมีตัวควบคุมเชิงบวกเพื่อเป็นการประกันผลที่ได้ เชื้อไวรอยด์ในจีนส Pospiviroid มีจีโนมขนาดเล็กขนาด 356-375 นิวคลีโอไทด์ ดังนั้นจึงสามารถสังเคราะห์ได้ทั้งจีโนมโดยพอสพิไวรอยด์ที่ทำการสังเคราะห์มีขนาดและลำดับนิวคลีโอไทด์ที่แตกต่างกัน (Table 1)

2. การออกแบบโปรแกรมที่จำเพาะ

จากการนำลำดับนิวคลีโอไทด์ของ Pospiviroid ทั้ง 9 ชนิด ได้แก่ Potato spindle tuber viroid, Tomato chlorotic dwarf viroid, Mexican papita viroid, Tomato planta macho viroid,

Chrysanthemum stunt viroid, *Citrus exocortis viroid*, *Tomato apical stunt viroid*, *Iresine viroid* และ *Columnea latent viroid* ในฐานข้อมูลพันธุกรรม GeneBank ของเชื้ออ้างอิงหมายเลข Accession no. GU911350.1, NC_003637.1, NC_001558.1, EU879922.1, KF683201.1, AB006737.1, AB054599.1, KF484878.1 และ NC_003538.1 ตามลำดับมา เทียบเคียงสำหรับการอ่านแบบไฟรเมอร์เพื่อใช้ในการตรวจสอบด้วยเทคนิค pyrosequencing ซึ่ง เป็นการวิเคราะห์ลำดับนิวคลีโอไทด์แบบใหม่ (Figure 1) โดยใช้โปรแกรม PyroMark® Assay Design SW 2.0 ในการอ่านแบบและมีการพิจารณาคัดเลือกไฟรเมอร์โดยกำหนดให้มีปริมาณ GC อยู่ระหว่าง 30-80% และ มีค่า Tm 60 องศาเซลเซียส พบร้าได้ไฟรเมอร์ 2 ชุด คือ PPV 1 มีลำดับนิวคลีโอไทด์ของ Forward คือ TCAGGGATCCCCGGGGAA และ reverse คือ TCCAGTTGTCTCCACCGGGTAGT และไฟรเมอร์สำหรับการทำซีเควนซิ่งคือ CCCGGGGAAACCTGGA โดยการอ่านแบบได้มาจากการอ่านลำดับนิวคลีโอไทด์ของ เชื้อไวรอยต์ 8 ชนิดได้แก่ *Potato spindle tuber viroid*, *Tomato chlorotic dwarf viroid*, *Mexican papita viroid*, *Tomato planta macho viroid*, *Chrysanthemum stunt viroid*, *Citrus exocortis viroid*, *Tomato apical stunt viroid* และ *Iresine viroid* โดยมีขนาดดีเอ็นเอเป้าหมายเท่ากับ 197 bp

ส่วนไฟรเมอร์ PPV2 ได้มาจากการอ่านลำดับนิวคลีโอไทด์ของเชื้อไวรอยต์ *Columnea latent viroid* มีลำดับนิวคลีโอไทด์ของ Forward คือ AGCCCCGGGGCAACTCAG และ reverse คือ AGCAACTCGGTGATGCCAC และไฟรเมอร์สำหรับการทำซีเควนซิ่งคือ CCCGGGGCAACTCAG โดย มีขนาดดีเอ็นเอเป้าหมายเท่ากับ 194 bp (Table 2)

3. การตรวจเชื้อไวรอยต์ด้วยวิธี pyrosequencing

เมื่อนำเชื้อพอกพิไวรอยต์ทั้ง 9 ชนิดที่สังเคราะห์ได้เพื่อใช้เป็นตัวอย่างควบคุมเชิงบางไป ตรวจด้วยเทคนิคไฟรเมอร์ซึ่งโดยใช้ไฟรเมอร์ที่อ่านแบบได้คือ PPV1-SP และ PPV1-SP และมีการติดฉลากด้วยใบออติน ผลการวิเคราะห์ electrophorograms พบร้าให้ลำดับนิวคลีโอไทด์ที่มีความแตกต่างกันตามชนิดของเชื้อ (Figure 2) โดย *Potato spindle tuber viroid* มีลำดับนิวคลีโอไทด์คือ GCGAACTGGCAAACAAGGACGGTGGGGAGTGCCCAGCGGCC; *Tomato chlorotic dwarf viroid* มีลำดับนิวคลีโอไทด์คือ GCGAACTGGCAAAAGGCAGGGAGCTGTGGAAGGCGAACAGGA; *Mexican papita viroid* มีลำดับนิวคลีโอไทด์คือ GCGAACTGGCAAAGGAGTCGCGGCTGGGGAGTCTCCTCAGACAGGA; *Tomato planta viroid* มีลำดับนิวคลีโอไทด์คือ GCGAACTGGCGAAGGAGTCGCGGCTGGGGAGTCT; *Chrysanthemum stunt viroid* มีลำดับนิวคลีโอไทด์คือ GGAAGTCCGACGAGATCGCGGTTGGGGCTTA; *Citrus exocortis viroid* มีลำดับนิวคลีโอไทด์คือ GGAAGTCGAGGTCGGGGGGTACAGCTGCTTC; *Tomato apical stunt viroid* มีลำดับนิวคลีโอไทด์คือ GGAAGTCGAGGTGGGGCTTCGGACTACT; *Iresine viroid* มีลำดับนิวคลีโอไทด์คือ GCGAACTCGGCAAGGAGGCCTGGCGGTAGGTGCGC และ *Columnea latent viroid* มีลำดับนิวคลีโอไทด์คือ ACCGAGCGGGTCTCGTGGTCGAGGGCGTTGCCCTGTT

เทคนิคไฟรเมอร์ซึ่งสำหรับการนำมาใช้ตรวจเชื้อมีความถูกต้องสูงเนื่องจากมีการ synthesis sequencing และการตรวจจับ PPi ที่หลุดออกมานอกจากในขณะที่เกิดกระบวนการ polymerization การทำงานนั้นอาศัยการทำงานของเอนไซม์ 4 ชนิดด้วยกันคือ klenow fragment ทำหน้าที่ต่อสายดีเอ็นเอเอนไซม์ ATP

sulfurylase ทำหน้าที่เปลี่ยน PPi ที่เกิดขึ้นให้เป็น ATP ซึ่งจะเป็นพลังงานให้กับเอนไซม์ luciferase ให้เป็น oxyluciferin ซึ่งสามารถให้แสงออกมайд้วยแสงที่เกิดขึ้นจะถูกตรวจจับด้วยเซ็นเซอร์ของกล้อง CCD นอกจากนี้ยังมีเอนไซม์ apyrase ทำหน้าที่ในการกำจัด dNTPs และ ATP ที่หลงเหลืออยู่ในระบบ เทคนิค มีความถูกต้องแม่นยำกว่าวิธีการตรวจสอบด้วยเทคนิคพีซีอาร์ทั่วไป เนื่องจากเทคนิคพีซีอาร์มีข้อจำกัดด้วยความไวของพีซีอาร์และมีโอกาสการตรวจจับที่ผิดพลาดของไพรเมอร์ระหว่างการเพิ่มขยายขนาดดีเอ็นเอซึ่งอาจจะนำไปสู่การจับกันอย่างไม่จำเพาะมีผลให้เกิดผลเชิงบวก (false positives) หรือผลเชิงลบ (false negatives) ที่ผิดพลาดได้ และการเพิ่มขยายขนาดดีเอ็นเอที่ไม่จำเพาะได้ การประกันความถูกต้องของวิธีการโดยหน่วยงานจากต่างประเทศ เช่น OIE และ China entry-exit inspection และ quarantine industry standards รายงานว่าผลผลิตพีซีอาร์จะต้องมีการหาลำดับนิวคลีโอไทด์เสมอ อย่างไรก็ตามระยะเวลาในการหาลำดับนิวคลีโอไทด์จำเป็นต้องใช้เวลาที่ยาวนานโดยทั่วไปอยู่ประมาณ 15-20 วัน ดังนั้นวิธีไฟโรซีเควนซิ่งสามารถลดระยะเวลาให้สั้นลงเหลือแค่ 3-4 ชั่วโมงเท่านั้นในการวิเคราะห์ ยิ่งไปกว่านั้นวิธีการนี้ยังให้ลำดับนิวคลีโอไทด์ที่จำเพาะซึ่งจะช่วยลดความเสี่ยงของการเกิดผลเชิงบวกที่ผิดพลาด (false positives) เทคนิคไฟโรซีเควนซิ่งมีการใช้อย่างแพร่หลายเนื่องจากมีความรวดเร็วในการตรวจสอบ และสามารถใช้ตรวจในเชื้อโรคสำคัญๆ หลายชนิด เช่น ไวรัส (De Battisti *et al.*, 2013; Gharizadeh *et al.*, 2005)

4. การตรวจเชื้อไวรอยด์ในเมล็ดพันธุ์ผักด้วยวิธี pyrosequencing

จากการสุ่มเมล็ดพันธุ์พิริก มะเขือเทศ จำนวน 100 ตัวอย่าง มาตรวจเชื้อไวรอยด์ทั้ง 9 ชนิด โดยไพรเมอร์ที่ออกแบบได้ 2 คู่ คือ PPV1 และ PPV2 โดยกำหนดสภาวะที่เหมาะสม พบว่าตัวอย่างเมล็ดพันธุ์ผักทั้ง 100 ตัวอย่างไม่มีการติดเชื้อไวรอยด์ซึ่งไม่พบแบบดีเอ็นเอเกิดขึ้นและเมื่อเทียบกับวิธีการมาตรฐาน Real-time PCR (Taqman) ก็ไม่พบเชื้อเช่นกัน ในขณะที่ตัวอย่างควบคุมเชิงบวก (positive control) มีแบบดีเอ็นเอเกิดขึ้น (Figure 3) ดังนั้นอาจสรุปได้ว่าเมล็ดพันธุ์ผักยังไม่มีการติดเชื้อไวรอยด์แต่อย่างไรก็ตามยังต้องมีการสุ่มตรวจเมล็ดพันธุ์ให้มากขึ้น

9. สรุปผลการทดลองและข้อเสนอแนะ :

จากการพัฒนาวิธีการตรวจสอบเชื้อ Pospiviroid ให้ครอบคลุมทุกชนิดของไวรอยด์ได้แก่ Potato spindle tuber viroid, Tomato chlorotic dwarf viroid, Mexican papita viroid, Tomato planta macho viroid, Chrysanthemum stunt viroid, Citrus exocortis viroid, Tomato apical stunt viroid, Iresine viroid และ Columnea latent viroid โดยใช้เทคนิคทางด้านชีวโมเลกุลขั้นสูงคือ เทคนิคไฟโรซีเควนซิ่งเป็นการพัฒนาโดยอาศัยหลักการของ synthesis sequencing และการตรวจจับ PPi ที่หลุดออกมายในขณะที่เกิดกระบวนการ polymerization พบว่าสามารถตรวจ Pospiviroid พร้อมกันได้หลายชนิดซึ่งมีความสำคัญเป็นอย่างยิ่งเพื่อนำมาใช้ตรวจสอบติดตามเมล็ดพันธุ์ที่นำเข้าหรือส่งออกไปต่างประเทศและเพิ่มความสามารถในการแข่งขัน เพราะจะทำให้ประเทศคู่ค้ามีความเชื่อมั่นในระบบการตรวจสอบ นอกจากนี้การเปิดเสรีทางการค้าทำให้แต่ละประเทศกำหนดเกณฑ์มาตรฐานสินค้าเกษตรขึ้นมาเพื่อใช้เป็นข้อกีดกันทางการค้า ดังนั้นผลงานวิจัยก็สามารถนำมาช่วยลดปัญหาเหล่านี้ได้ และยังเป็นวิธีการป้องกันการแพร่ระบาดของเชื้อโรคศัตรูพืช กักกันที่มีประสิทธิภาพด้วยเช่นกัน

10. การนำผลงานวิจัยไปใช้ประโยชน์

นำมาใช้ในการตรวจไวรัสในเมล็ดพันธุ์เพื่อการรับรองการปลอดศัตรูพืชสำหรับการนำเข้าส่งออก

11. เอกสารอ้างอิง

- De Battisti, C., A. Salomoni, S. Ormelli, I. Monne, I. Capua and G. Cattoli. 2013. Rapid pathotyping of Newcastle disease virus by pyrosequencing. *J. Virol Methods.* 188:13-20.
- Gharizadeh, B., M. Oggionni, B. Zheng, E. Akom, N. Pourmand, A. Ahmadian, K.L. Wallin and P. Nyrén. 2005. Type-specific multiple sequencing primers: a novel strategy for reliable and rapid genotyping of human papillomaviruses by pyrosequencing technology. *J. Mol. Diagn.* 7:198-205.
- Gruber, J.D., P.B. Colligan, and J.K. Wolford. 2002. Estimation of single nucleotide polymorphism allele frequency in DNA pools by using Pyrosequencing. *Hum. Genet.* 110:395-401.
- Nordstrom, T., M. Ronaghi, and L. Forsberg. 2000. Direct analysis of single-nucleotide polymorphism on double-stranded DNA by pyrosequencing. *Biotechnol Appl Biochem.* 31:107-112.

12. វារិយាយ

Table 1 Synthesis of viroid sequence

Viroid species	Size	GC%	Sequence
<i>Potato spindle tuber viroid</i>	309 bp	58.77%	AAAAGAAAAAAGAAGGCGGCTGGAGGAGCGCTTCAGGGATCCCCG GGGAAACCTGGAGCGAACTGGCAACAAGGACGGTGGGAGTGCCC AGCGGCCGACAGGAGTAATTCCCGCCAAACAGGGTTTCACCCCTT CCTTCTCGGGTGCCTCCTCGCGCCCGCAGGACCACCCCTCGCC CCCTTGCCTGTCGCTTCGGATACTACCCGGTGGAAACAAGTGA GCTCCGAGAACCGCTTTCTATCTTACTTGCTTCGGGGCGAG GGTGTAGCCCTTGGAACCGCAGTTGGTTCC
<i>Tomato chlorotic dwarf viroid</i>	360 bp	57.35%	CGGAACTAACCTCGTGGTTCCCTGTGGTTCACACCTGACCTCCTGTG CAGAAAAGAAAAAGATAGGCGGCTCGGAGGAGCGCTTCAGGGATC CCCGGGAAACCTGGAGCGAACTGGCAAAGGCGGCAGGGAGCTT GTGGAAGGCACAGGAGTAATCCCGCTAGAAACAGGGTTTC CCCTCCTTCTCTCGGGTTCCCTTGCCTCGCCACTCGACCC CTCGCCCCCTTGCCTGTCGCTTCGGCAACTACCCGGTGGATACAA CTGAAGCTCCGAGAACCGCTTTCTATCTTACTTGCTGCTACCGGG GCGAGGGTGGTTAGCCCTTGGAACCGCAGTTGGTTCC
<i>Mexican papita viroid</i>	360 bp	58.78%	CGGGATCTTCCCTTGTGGTTCCCTGTGGTTCACACCTGACCTCCAG CCCAGGAAAGAAAAAGAAAGGCGGCTCGGAGGAGCGCTTCAGGG TCCCCGGGAAACCTGGAGCGAACTGGCAAAGGAGTCGCGGCTGG GGAGTCTCCTCAGACAGGAGTAATCCCGCTGAAACAGGGTTTC CCCTCCTTCTCGGGTTCCCTCTGTGGTCGACACCCCTCGCC CGCCTCTCTGCCTGTCGCTTCGGATACTACCCGGTGGAAACA GAAGCTCCGAGAACCGCTTTCTATCTTACTTGCTGGCGCAGGG GAGGGTGGAAAGCCCTTGGAACCCGCTGGATGGGTCC
<i>Tomato planta macho viroid</i>	360 bp	57.55%	CGGGATCTTCCCTTGTGGTTCCCTGTGGTACACACCTGACCTCCTG ACCAGAAAAGAAAAAGAAATTGCGGCCAAAGGAGCGCTTCAGGGAT CCCCGGGAAACCTGGAGCGAACTGGCGAAGGAGTCGCGGCTGG GAGTCTCCAGACAGGAGTAATCCCGCTGAAACAGTTTCACCC TCCTTCTCGGGTTCCCTCTGCCTCGACACCCCTGCCGCT TCTCTGCCTGTCGCTTCGGAGACTACCCGGTGGAAACAAGTGA

			GCTCCCAAGCGCCGCTTTCTATCTTGTGGCTGGCTCCGGGGCGAG GGTGGAAAACCCTGGAACCCTCGAAAGGGTCCCT
<i>Chrysanthemum stunt viroid</i>	354 bp	54.13%	CGGGACTTACTTGTGGTCCTGTGGTCACTCCTGACCCCTGCTGCT TTACAAGAAAAAGAAATGAGGCGAAGAAGTCCTTCAGGGATCCCCG GGGAAACCTGGAGGAAGTCCGACGAGATCGCGTTGGGGCTTAGGA CCCCACTCCTGCGAGACAGGAGTAATCCTAACAGGGTTTCACCC TTCCTTAGTTCTCCTCTCCTGGAGAGGTCTTCTGCCCTAGCCC GGTCTCGAAGCTCCTTGCTACTACCCGGTGGAAACAACTGAA GCTCAACGCCTTTTCCAATCTTCTTAGCACCGGGCTAGGGAG TAAGCCC GTGGAACCTTAGTTTGTCCCT
<i>Citrus exocortis viroid</i>	373 bp	59.24%	CGGGATCTTCTTGAGGTTCTGTGGT GCTCACCTGACCCCTGCAGG CAGAAAAAGAAAAAAAGAGGC GGCGGGGAAGAAGTCCTTCAGGGA TCCCCGGGAAACCTGGAGGAAGTCGAGGT CGGGGGGTACAGCT GCTCGGTGCGCGGATCACTGGCGTCCAGCGGAGAACAGGAGC TCGTCTCCTCCTTCGCTGCTGGCTCACATCCGATCGTCGCTGAA GCGCACGCCCGCTGCCGGAGCTCTCTGGCTACTACCCGGT GGAAACAACTGAAGCTCAACCCAAACCGCTTTCTTATATCTTCA CTGCTCTCCGGCGAGGGTGAAAGCCCTCGGAACCTAGATTGGGT CCCT
<i>Tomato apical stunt viroid</i>	364 bp	57.09%	CGGGAACTTCTTGAGGTTCTGTGGT GCTCACCTGACCCCTGCAGG CATCAAGAAAAAGAATGGCGCGGAGGAGAAGAAGTCCTTCAGGGA TCCCCGGGAAACCTGGAGGAAGTCGAGGT CGGGGGCTTCGGACTA CTCCTCGTGAGACAGGAGTAATCCCCGCTGAAACAGGGTTTCAC CCTTCCTTCTCGGGTTCTCCTCTCGCCTGGAGAGGTCTCGG CCCTGCCCGGAGCTCTCTGGAGACTACCCGGTGGAAACAACT GAAGCTCAACCCCTCGCGCTTTCTCTA TCTTGTTGCTCTCCGGCGAGGGTGAAAGCCCTCGGAACCTCGGA AGGAGTCCCT
<i>Iresine viroid</i>	370 bp	60.4%	TGTGGTTCCAATGGTTGCACCCCTGACCTGCAATGCAAAAAGAAAA AAGATGGGGCGCGGCAACAAACGCTTCAGGGATCCCCGGGGAAACC TGGAGCGAACTCGGCAAGGAGGCCTGGCGGTAGGTGCGCGAGTC GACCGCGTAAAGACCGGAGAACTCCACGC CGGCGGAAGAACAGGA GCTCGTCTCCTCCTTCTCGGCCCGCAGGACTCACTCGGCAGCGG

			CGTCTTCTCCGACCCCTGCCGCTTCGGCTGGCTCTGGCT ACTACCCGGTGGATACAACGTAGCTTGAAGCC CGCCCGCCCTTTCTTCTATCTTCTGCTGCGCGCGAGGGTGGC TTCTAAAGGAAACCCT
<i>Columnnea</i> <i>latent</i> <i>viroid</i>	369 bp	57.92%	CGGAACAACTCGTGGTCTGTGGTACACACCTGACCCTGCAGC CATGCAAAAGAAAAAGAACGGGAGGGAGAGCGCAAGAGCGGTCTC AGGAGCCCCGGGGCAACTCAGACCGAGCGGGGTCGTGGTCAGG GCGTTGCCCTGTTCAGACAGGAGTAATCCCAGCTGAAACAGGGTTT TCACCCCTCCTTCTTCTGGTTCTCCTCTGCTTCAGCGGCCCTCG CCCGGAACCTCTTGACCAGCGCAGGTGCTGACGCGACCGGTGGCAT CACCGAGTTGCTCGAGCCTAACCTCCTTTT CTCTATCTTAGCTTGGTCTCCGGCGAGGGTGTAGCCCTGGAA CCGCAGTAGGTTCCCT

Table 2 Sequences of primer used for pospiviroid detection

Target	Primer sequence	Length (bp)	Tm	% GC	Product size
Assay1 (PPV1*)	PPV1-FP: TCAGGGATCCCCGGGGAA	19	78.0	63.2	197
C=T/A biotin	PPV1-RPB: TCCAGTTGTCTCCACCGGGTAGT	23	75.1	56.5	
	PPV1-SP: CCCGGGGAAACCTGGA	16	65.0	68.8	
Assay2 (PPV2*)	PPV2-FP: AGCCCCGGGGCAACTCAG	18	77.0	72.2	194
Biotin	PPV2-RPB: AGCAACTCGGTGATGCCAC	19	71.3	57.9	
	PPV2-SP: CCCGGGGCAACTCAG	15	61.9	73.3	

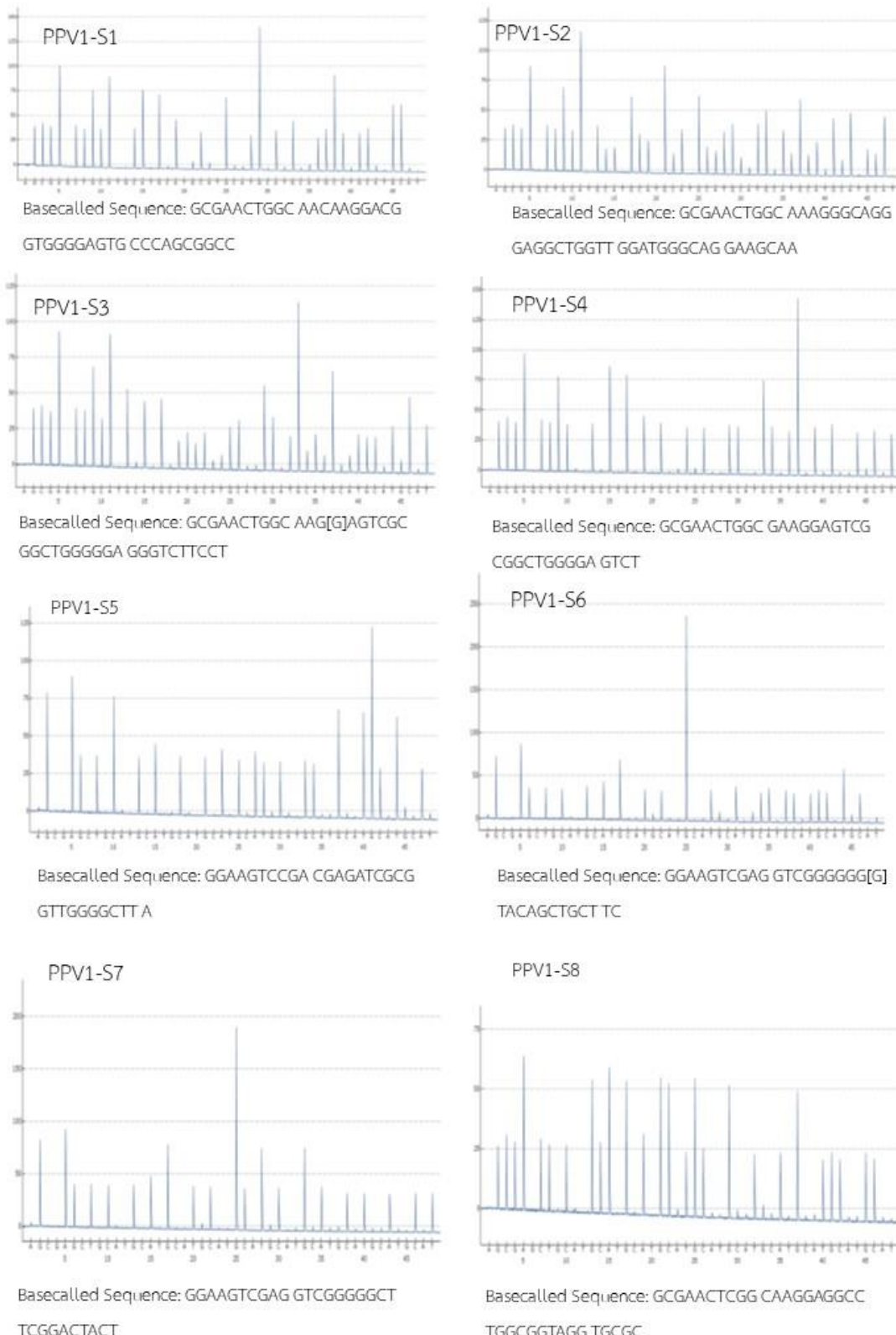
PPV1*: detection strain GU911350.1, NC_003637.1, NC_001558.1, EU879922.1,
KF683201.1, AB006737.1, AB054599.1, KF484878.1

PPV2**: detection strain NC_003538.1

9 strains multiple alignment

Figure 1 The alignment of accession numbers of viroid species exhibiting sequence identity *Potato spindle tuber viroid* (Accession: EU879922.1), *Tomato chlorotic dwarf viroid* (Accession: KF683201.1), *Mexican papita viroid* (Accession: NC_003637.1), *Tomato planta macho viroid* (Accession: NC_001558.1), *Chrysanthemum stunt viroid*

(Accession: AB006737), *Citrus exocortis* viroid (Accession: AB054599.1), *Tomato apical stunt* viroid (Accession: KF484878.1), *Iresine* viroid (Accession: GU911350.1), *Columnea latent* viroid (Accession: NC_003538.1)



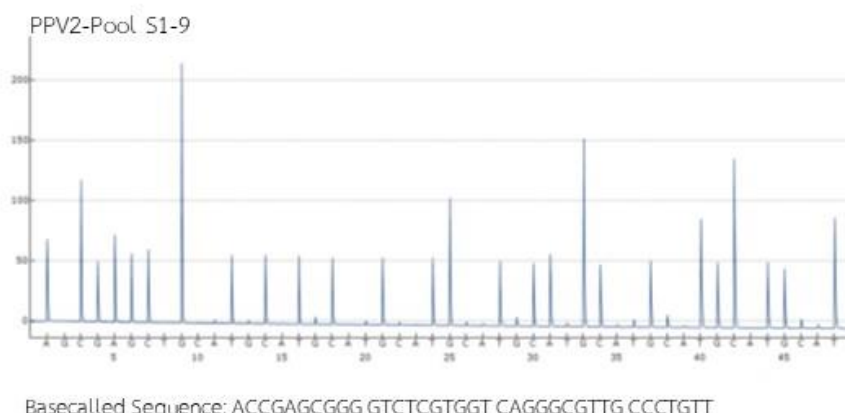
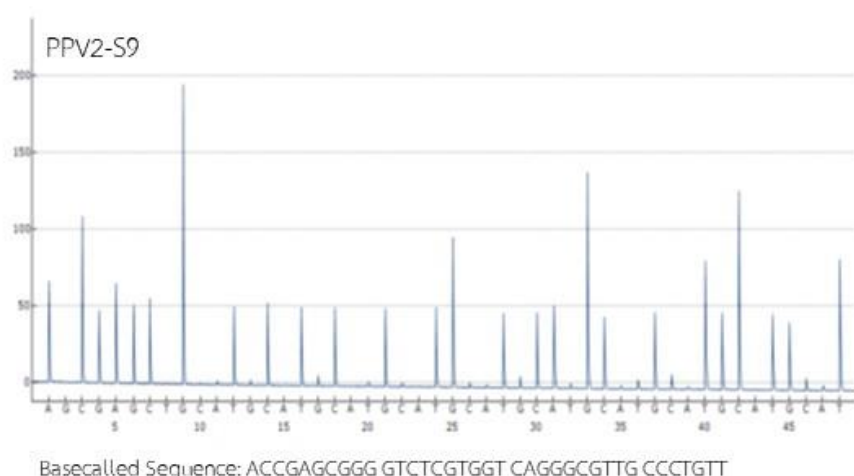
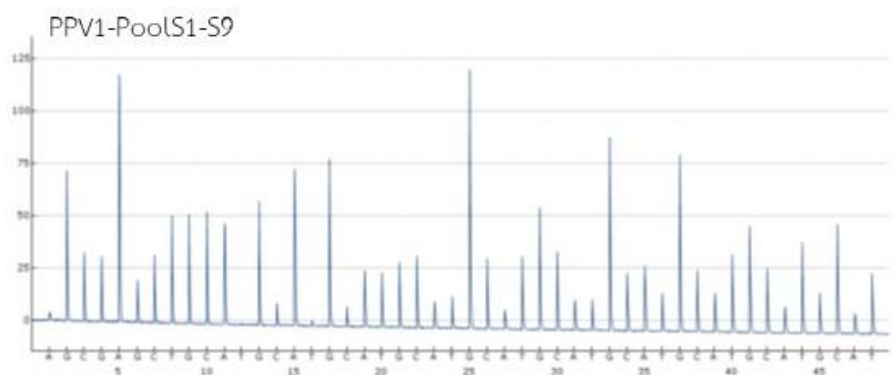


Figure 2 Pyrosequencing signal of Pospiviroid: *Potato spindle tuber viroid* (S1), *Tomato chlorotic dwarf viroid* (S2), *Mexican papita viroid* (S3), *Tomato planta macho viroid* (S4), *Chrysanthemum stunt viroid* (S5), *Citrus exocortis viroid* (S6), *Tomato apical stunt viroid* (S7), *Iresine viroid* (S8) และ *Columnea latent viroid* (S9)

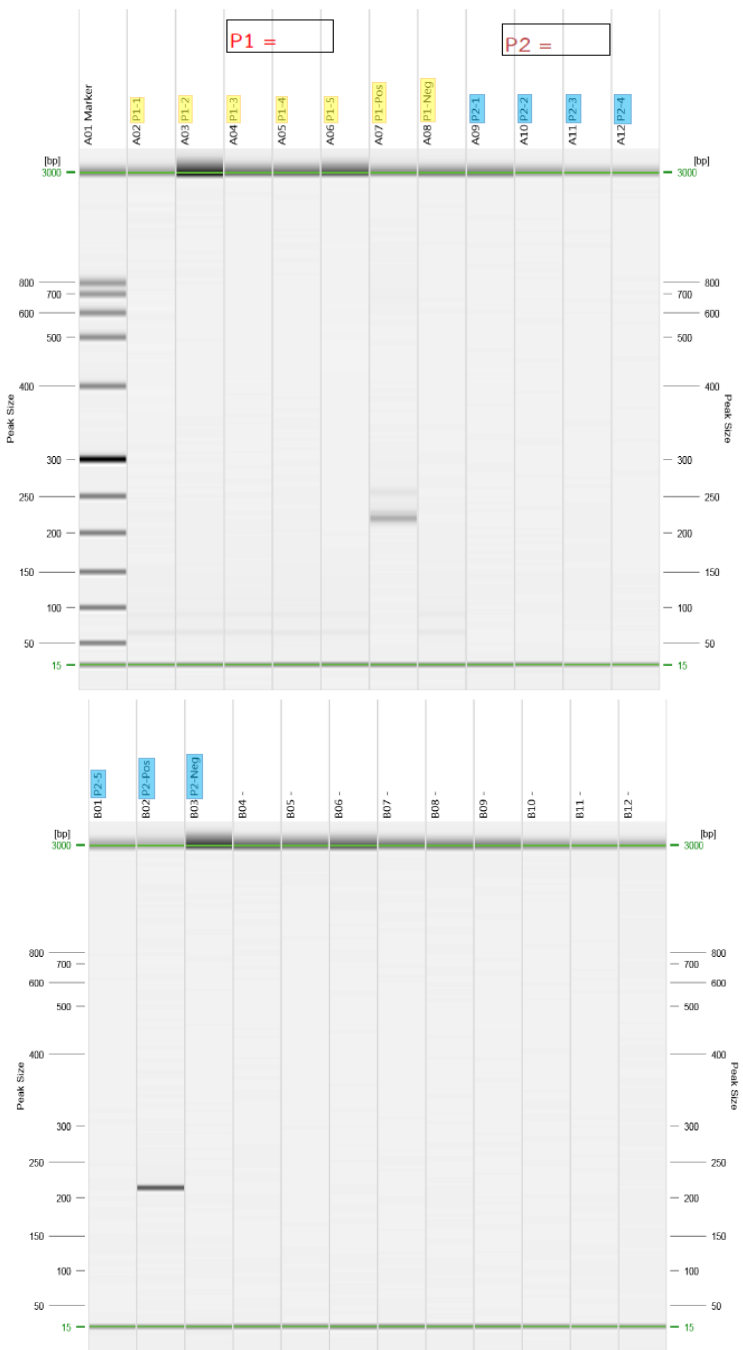


Figure 3 Image of the gels for PCR amplification